

## بررسی عددی پدیده احتراق برای طراحی محفظه احتراق و صرفه‌جویی در مصرف انرژی

سید مهدی نقوی<sup>۱</sup>

نویسنده مسئول: naghavi@iaukhsh.ac.ir

### Investigation of combustion phenomena for combustion chamber design and energy consumption minimizing

Seyed Mehdi Naghavi

#### چکیده

با وجود همه پیشرفت‌ها در جای‌گزینی سوخت فسیلی، هنوز هم این سوخت، منبع اصلی انرژی به‌شمار می‌آید. لذا پیش‌بینی رفتار آن در حین فرایند احتراق برای صرفه‌جویی در مصرف انرژی، پدیده مطلوبی است. از آن‌جا که دمای بالا در این فرآیند، نقش درخور توجیهی دارد، بنابراین استفاده از شبیه‌سازی عددی در مقایسه با روش‌های آزمایشی مفیدتر می‌باشد. در کار حاضر، جریان و احتراق، در یک محفظه احتراق متقارن محوری، بهصورت عددی مدل شده است. از برنامه کامپیوتری آماده شده می‌توان برای حل نمودن جریان در محفظه‌های احتراق متقارن محوری، استفاده کرد. در این برنامه، معادلات اعم از پیوستگی، ممنتوم، انرژی، غلظت سوخت و محصولات احتراق و معادلات مریوط به جریان مشوش، بهوسیله الگوریتم سیپل حل می‌شوند. در کار حاضر، برخی از اثرات وجود چرخش و جهت چرخش در محفظه احتراق بررسی شده و نتایج حاصل با نتایج آزمایشگاهی مقایسه شده‌اند.

## ۱- مقدمه

معادلات بکار برده شده برای محاسبه خواص جریان عبارتند از معادلات پیوستگی، اندازه حرکت در سه جهت مختصات استوانه‌ای، انتالپی سکون، غلظت سوخت و محصولات احتراق، انرژی جنبشی اغتشاش و اتلاف انرژی جنبشی اغتشاش. شکل کلی معادلات عبارت است از:

$$\frac{\partial(\rho u \varphi)}{\partial x} + \frac{1}{r} \frac{\partial(r \rho v \varphi)}{\partial r} = \frac{\partial}{\partial x} (\Gamma_e^\varphi \frac{\partial \varphi}{\partial x}) + \frac{1}{r} \frac{\partial}{\partial r} (r \Gamma_e^\varphi \frac{\partial \varphi}{\partial r}) + S_\varphi \quad (1)$$

مقادیر  $\Gamma_e^\varphi$  و  $S_\varphi$  متناظر با خاصیت  $\varphi$  در جدول ۱ ارائه شده است.

جدول ۱ - ضرایب معادلات بقاء مطابق معادله (۱)

	$\Gamma_e^\varphi$	$S_\varphi$	خاصیت ( $\varphi$ )
جرم (1)	0	0	
اندازه حرکت محوری (u)	$\mu_e$	$-\frac{\partial P}{\partial x} + \frac{\partial u}{\partial x} \frac{\partial \mu_e}{\partial x}$ $+ \frac{\partial v}{\partial x} \frac{\partial \mu_e}{\partial r}$ $\frac{\partial P}{\partial r} \frac{\partial u \partial \mu_e}{\partial r \partial x} + \frac{\partial v \partial \mu_e}{\partial r \partial r}$ $-\mu_e \frac{v}{r^2} + \rho \frac{w^2}{r}$	
اندازه حرکت ساعی (v)	$\mu_e$	$-\mu_e \frac{w}{r^2} - \frac{\rho v}{r} w$	
اندازه حرکت مماسی (rw)	$\mu_e$		
انرژی جنبشی اغتشاش (k)	$\frac{\mu_e}{P_f}$	$A - (\rho \frac{\varepsilon_{old}}{k_{old}}) k$	
اتلاف انرژی جنبشی اغتشاش (ε)	$\frac{\mu_e}{P_f}$	$C_{\varepsilon_1} A \frac{\varepsilon_{old}}{k_{old}} - (C_{\varepsilon_2} \rho \frac{\varepsilon_{old}}{k_{old}}) \varepsilon$ $A = \mu_e (u_{j,i} + u_{i,j}) u_{j,i}$ $+ \frac{\mu_e}{\rho} \rho_{,m} P_{,m}$	
انتالپی سکون (H)	$\frac{\mu_e}{P_f}$	0	
كسر جرمی (f)	$\frac{\mu_e}{P_f}$		
مخلوط (M)			

انجام کارهای تجربی، دشوار هستند و از سوی دیگر گران و پرهزینه. بنابراین طراحی محفظه‌های احتراق به وسیله روش‌های عددی، از اهمیت زیادی برخوردار است؛ به این ترتیب، با این کار می‌توان شرایط بهینه را با حداقل هزینه طراحی کرد و اثر پارامترهای مختلف را در فرایند احتراق و بر روی خواص جریان داخل محفظه به دست آورد. به تبع آن می‌توان باعث بهبود در راندمان و کارکرد محفظه احتراق شد و گاهی مشکلی را در محفظه احتراق مدنظر، برطرف نمود. به عنوان مثال، با کنترل دمای خروجی، می‌توان از خوردگی در دودکش‌ها جلوگیری نمود. با کنترل درصد گازهای خروجی هم می‌توان آلودگی ناشی از احتراق را به حداقل رساند. با طراحی کوره مناسب هم میزان مصرف انرژی کاهش خواهد یافت. در زمینه شبیه‌سازی عددی محفظه احتراق، کارهای زیادی انجام شده است که می‌توان به کار جونز و همکارانش اشاره کرد. آنها ساده‌سازی‌های معمول و مسائل مهم در شبیه‌سازی محفظه احتراق را نشان داده‌اند. در سال ۱۹۷۸ جونز و پریدن [۱] حل سه بعدی برای جریان و میدان‌های دما و غلظت نمونه‌های جرمی را در یک محفظه با سوخت مایع ارائه کردند. به علت موجود نبودن نتایج تجربی برای این مسئله، اعتبار شبیه‌سازی توسط یک محفظه دیگر بررسی شده است. در سال ۱۳۸۲ صابونچی و خردمند [۲] جریان و احتراق را در یک محفظه احتراق سه بعدی با هفت مشعل مدل نمودند. آنها تأثیر شکل محفظه مستقیم و محفظه زانویی‌شکل را بررسی کردند. در سال ۲۰۰۷ دینلر و یوسفی [۳] یک محفظه احتراق متقاضن محوری را بررسی نموده‌اند. آنها یک استوانه و اثر زاویه جریان ورودی آن را مورد بررسی قرار داده و اثر زاویه سوپاپ ورودی در داخل محفظه را بررسی کردند. در کار حاضر، اثر چرخش همجهت و بر عکس در ورودی هوا و ورودی سوخت به محفظه احتراق بررسی می‌شود.

## ۲- معادلات حاکم و فرضیات به کار برده شده

جایگذاری می شود<sup>[۴]</sup>. شکل کلی معادلات  $\epsilon - k$  در معادله (۱) معرفی شدند.

**۴- مدل احتراق**  
 برای بررسی احتراق در داخل محفظه، دو مدل احتراق بینهایت سریع و مدل احتراق دو معادله‌ای، بررسی شدند و در نهایت، مدل احتراق دو معادله‌ای که جواب‌های واقعی تری را ارائه می کرد، برای بدست آوردن جواب‌های نهایی به کار گرفته شد. در مدل احتراق دو معادله‌ای، دو معادله کسر جرمی مخلوط و معادله غلظت سوخت همزمان برای تمام نقاط حل می شوند. معادله کسر جرمی مخلوط و معادله غلظت سوخت، مشابه معادله اندازه حرکت هستند؛ با این تفاوت که معادله غلظت سوخت، یک جمله چشمی نیز دارد. برای جای گذاری جمله چشمی معادله غلظت سوخت، از روش تلفات گردابه‌ای استفاده شده است. این روش توسط مگنوسن و هایرتاگر ارائه شده و جمله چشمی با معادله (۲) جای گذاری می شود. (مرجع [۵])

$$S_{Y_F} = -\rho \frac{\epsilon}{k} \text{Min}(AY_F, \frac{AY_{Ox}}{s}, \frac{ABY_{Product}}{1+s}) \quad (2)$$

در رابطه فوق  $A, B$  اعداد ثابت هستند که برای شعله پیش مخلوط ۳۲ و ۴ و برای شعله نفوذی ۴ و ۵/۰ می شود.  $S$  نیز نسبت جرم اکسیژن به جرم سوخت مصرفی در معادله واکنش سوخت و هوا می باشد. برای اعمال اثر تشعشع در داخل محفظه احتراق، از روش چهار شار که در مرجع [۶] توضیح داده شده، استفاده شد.

## ۵- روش حل

در معادلات حاکم بر مسئله، مشکل اصلی، وجود متغیر فشار است. از آن‌جا که سایر متغیرها برای خود معادله مشخصی دارند، ولی فشار دارای معادله‌ای مجزا نمی باشد، این مشکل خودنمایی می کند. لذا برای حل معادلات، باید روشی را انتخاب نمود که مشکلی با حل فشار نداشته باشد.

معادله (۲)	$\frac{H}{P_F}$	غلظت	$P_F$	سوخت ( $Y_F$ )
------------	-----------------	------	-------	----------------

برای این که مدل کردن محفظه احتراق مقدور باشد، در آغاز فرضیات ساده‌کننده‌ای در کار اعمال می شود. سپس مسئله مدنظر ساده‌سازی شده و آنگاه حل می شود. در این مقاله فرضیات زیر بکار برده شده و مدل به ترتیب زیر ساده شده است:

الف. حرارت تولید شده ناشی از اتلاف اصطکاکی ناچیز در نظر گرفته شده است.

ب. جریان، متقارن محوری است لذا تغییرات نسبت به مختصه زاویه‌ای صفر است.

ج. جریان تراکم‌پذیر فرض می شود. (زیرا با توجه به تغییر زیاد دما در محفظه احتراق، نمی توان چگالی را ثابت فرض کرد.)

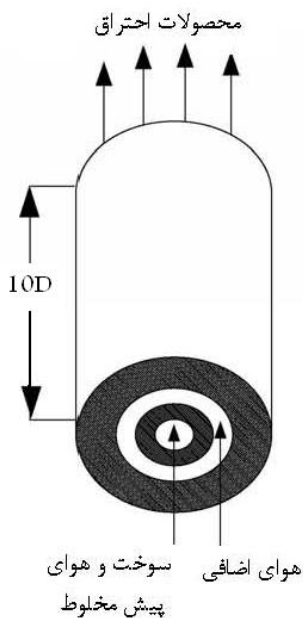
د. نیروهای حجمی ناچیز هستند.

ه. جریان دائم فرض می شود.

## ۳- مدل جریان مغشوش

یکی از نکات مهم برای مدل کردن جریان در یک محفظه احتراقی، تعیین مدل جریان مغشوش است. زیرا توزیع سرعت، با توجه به مدل به کار برده شده برای جریان مغشوش بدست می آید و سرعت بر روی همه خواص دیگر تأثیر می گذارد. در این مقاله از روش  $\epsilon - k$  استفاده می شود. در این روش دو معادله دیفرانسیلی، برای انرژی جنبشی اغتشاش و اتلاف انرژی جنبشی اغتشاش به کار برده می شود و از روی مقدار انرژی جنبشی اغتشاش و اتلاف انرژی جنبشی اغتشاش در هر نقطه، مقدار لزجت مغشوش حساب می شود. این مقدار که تابعی از نوع جریان می باشد، به لزجت سیال که از خواص سیال است اضافه می شود و لزجت مؤثر جریان به دست می آید. در روابط حاکم بر جریان، هر جا لزجت سیال استفاده می شد، لزجت مؤثر

مثل فشار، تصحیح فشار، دما، چگالی و ... شبکه دیگری



شکل ۱- شکل ساده‌ای از محفظه احتراق

به کار برده می‌شود. در کار حاضر، اندازه شبکه‌بندی به کاربرده شده  $22 \times 20$  است. همه متغیرها به جز سرعت، در نقاط اصلی شبکه حساب می‌شوند و مؤلفه‌های سرعت در بین نقاط شبکه محاسبه می‌شوند. با این کار، از نوسانی شدن فشار جلوگیری می‌شود اما در کنار آن مشکلی ایجاد خواهد شد. اشکال بوجود آمده، افزده شدن میان‌یابی به برنامه است که باید سرعت در نقاط اصلی شبکه را با میان‌یابی از طرفین هر نقطه به دست آورد.

#### ۸- نتایج بدست آمده از بررسی جهت چرخش در ورودی هوا و ورودی سوخت

در کار حاضر، برنامه‌ای کامپیوترا تهیه شده است که به زبان برنامه‌نویسی فرتون می‌باشد. با این برنامه می‌توان فرآیند احتراق را برای سوخت‌های مختلف مدل‌سازی کرد و اثرات تشعشع، تراکم پذیری، نوع سوخت، درصد هوا اضافی و ... را نیز بررسی نمود. با توجه به این که در کار حاضر بررسی جهت چرخش در ورودی هوا و ورودی سوخت در محفظه احتراق مدنظر بود، با برنامه کامپیوترا یک محفظه احتراق، یک‌بار با چرخش همجهت و بار دیگر با چرخش

روشی که در این کار انتخاب شده است، روشنی به نام روش سیمپل<sup>۷</sup> است که توسط پاتانکار و همکارانش پیشنهاد شده است [۷]. در این روش، معادله پیوستگی به عنوان معادله‌ای برای تصحیح فشار به کار می‌رود و فشار به صورت مجموع فشار لحظه‌قبلی، به اضافه تصحیح فشار در هر گره تعریف می‌شود. بقیه معادلات نیز همراه با تصحیح فشار حل می‌شوند و در هر تکرار، فشار تصحیح می‌شود. آنگاه همان‌طور که متغیرها به سمت جواب همگرا می‌شوند، مقدار متغیر تصحیح فشار به سمت صفر می‌کند و معادله پیوستگی که در دل معادله تصحیح فشار نهفته است، خود به خود برقرار می‌شود.

#### ۶- ابعاد محفظه

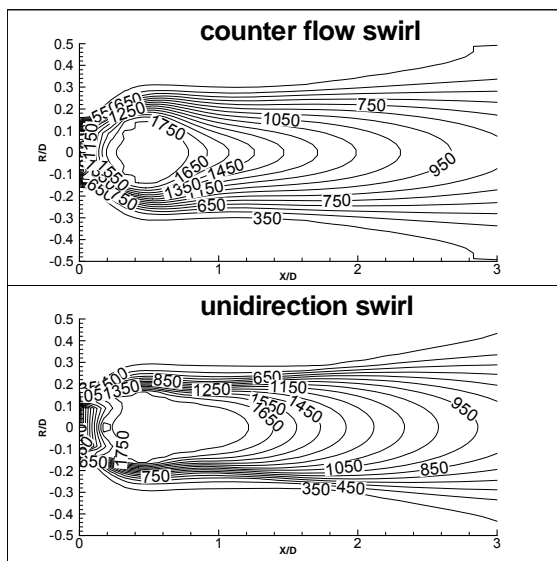
محفظه‌ای که در این مقاله بررسی می‌شود، محفظه‌ای استوانه‌ای است که قطر آن ۱۰ سانتیمتر و طول آن ۱۰۰ سانتیمتر می‌باشد. دو سوراخ در ورودی آن وجود دارد که یکی در شعاع صفر تا یک سانتیمتر است و از طریق آن سوخت و هوای پیش‌مخلوط وارد می‌شوند. دیگری سوراخی حلقه‌ای است که در شعاع دو تا چهار سانتیمتر است و از طریق آن بقیه هوای لازم برای احتراق، به همراه هوای اضافی به محفظه افزوده می‌شود. شکل (۱) نمای ساده‌ای از محفظه احتراق را نشان می‌دهد. لازم به ذکر است که ابعاد عنوان شده، ابعاد یک کوره آزمایشگاهی است که در مرجع [۸] معرفی شده است.

#### ۷- شبکه‌بندی استفاده شده

برای حل مسائلی که دارای متغیر فشار هستند و در حل آنها از روش سیمپل استفاده می‌شود، از شبکه‌ای به نام شبکه جایگاشده استفاده می‌شود. به این ترتیب که برای متغیرهای سرعت، شبکه مستقل استفاده می‌شود و برای سایر متغیرها

همانطور که در شکل (۲) دیده می‌شود دمای وسط محفظه با وجود چرخش به سرعت افت می‌کند، زیرا چرخش باعث اختلاط بیشتر و پهن شدن شعله و رفتن حرارت به سمت دیواره‌ها می‌گردد. لذا طول شعله کم می‌شود و دمای خط محور کوره افت می‌کند. همچنین این موضوع در مورد چرخش بر عکس بیشتر از چرخش همجهت رخ می‌دهد زیرا در چرخش همجهت حرکت صلب سیال اتفاق می‌افتد و اختلاط کمتر از چرخش بر عکس رخ می‌دهد لذا طول شعله در چرخش همجهت بیشتر از طول شعله در چرخش بر عکس است. لذا برای استفاده از کوره کوچکتر و اختلاط بیشتر چرخش بر عکس ترجیح داده می‌شود.

در شکل (۳) توزیع دمای داخل محفظه برای دو حالت چرخش همجهت و چرخش بر عکس نشان داده شده است.



شکل ۳- توزیع دما در محفظه احتراق با وجود چرخش بر عکس (شکل بالایی) و چرخش همجهت (شکل پایینی)

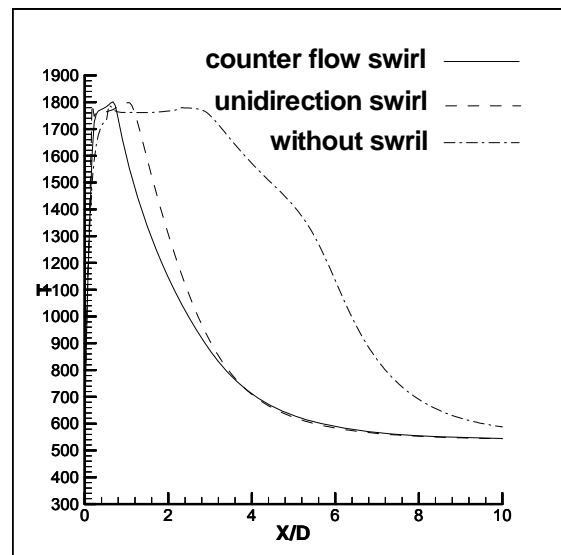
همانطور که در شکل (۳) دیده می‌شود دمای داخل محفظه با وجود چرخش بر عکس زودتر از چرخش همجهت افت می‌کند زیرا همانطور که قبلاً ذکر شد در چرخش همجهت حرکت صلب سیال اتفاق می‌افتد و اختلاط کمتر از چرخش بر عکس رخ می‌دهد لذا طول شعله

بر عکس مورد بررسی قرار گرفت. برای این که فقط اثر جهت چرخش بررسی شود، کلیه شرایط دیگر بدون تغییر حفظ شد.

در شبیه‌سازی اول که جریان با چرخش هوای ورودی و سوخت ورودی در جهت بر عکس در نظر گرفته شد، مانند مرجع [۸] سوخت و هوای پیش مخلوط که از سوراخ وسطی ورودی وارد محفظه می‌شود، با چرخش در خلاف جهت عقربه‌های ساعت (جهت مثبت مثلثاتی) و هوای اضافی با چرخش در جهت موافق عقربه‌های ساعت (جهت منفی مثلثاتی) از اطراف سوخت وارد محفظه شد.

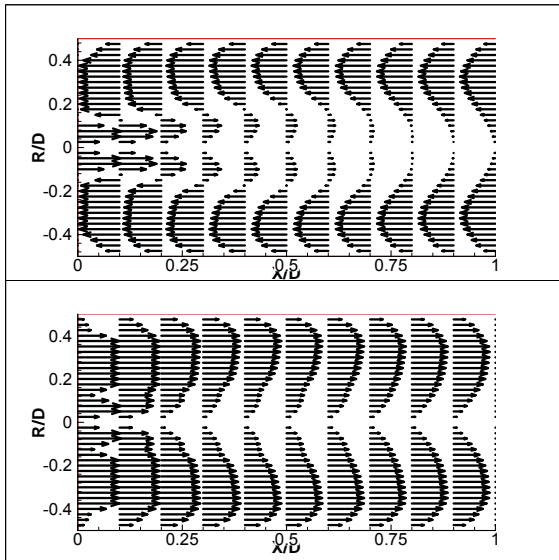
در شبیه‌سازی دوم که جریان با چرخش هوای ورودی و سوخت ورودی با جهت یکسان در نظر گرفته شد تمام شرایط مانند شبیه‌سازی اول انتخاب شد و فقط جهت چرخش در ورودی سوخت و ورودی هوا یکسان در نظر گرفته شد.

در شبیه‌سازی سوم تمام شرایط مانند شبیه‌سازی اول انتخاب شد و فقط برای ورودی سوخت و ورودی هوا چرخش حذف شد و چرخشی در نظر گرفته نشد. در شکل (۲) توزیع دمای ناشی از سه شبیه‌سازی ذکر شده در محور محفظه احتراق نشان داده شده است.



شکل ۲- توزیع دما در خط محور محفظه احتراق

حاکم بر حرکت سیال، در جهت محور می باشد، لذا به مرور زمان مؤلفه مماسی به سمت صفر می کند.



شکل ۵- مؤلفه سرعت در جهت مختص مماسی در محفظه احتراق با وجود چرخش برعکس (شکل بالایی) و چرخش همجهت (شکل پایینی)

#### ۹- مقایسه نتایج برنامه با نتایج آزمایشگاهی

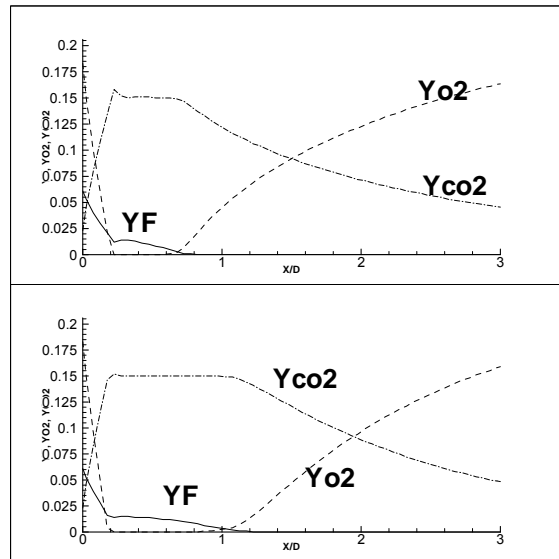
بدون مقایسه تجربی، نمی توان از درست بودن نتایج حاصل از برنامه اطمینان حاصل کرد. لذا برنامه برای هندسه داده شده در مرجع [۸] اجراء و توزیع دمای به دست آمده با توزیع دمای حاصل از آزمایش مقایسه گردید.

در مرجع مذکور، اتفاقی احتراقی با قطر ۱۰ سانتیمتر با دو سوراخ در ورودی مدل شده است. به این ترتیب که سوخت و هوای به صورت پیش مخلوط از شاعع صفر تا یک سانتیمتر وارد می شوند و هوای از شاعع دو تا چهار سانتیمتر به محفظه اضافه می شود. نسبت هوای سوخت در ورودی ۰/۷۸ سرعت متوسط ۲۴/۶ متر بر ثانیه، سرعت سوخت و هوای ۱/۴ برابر سرعت هوای ثانویه، چرخش برای جریان سوخت و هوای برابر ۰/۴۹۳ و برای جریان هوای ثانویه ۰/۵۵۹ می باشد. (علامت منفی، مخالف بودن جهت چرخش هوای ثانویه با چرخش سوخت و هوای پیش مخلوط را نشان می دهد).

در اشکال (۶) و (۷) توزیع دمای داخل محفظه را که توسط برنامه به دست آمده است، به همراه توزیع دمای حاصل از آزمایش (مرجع [۸]) مشاهده می کنید. همان طور که در دو شکل مذکور دیده می شود، برنامه تهیه شده،

در چرخش همجهت بیشتر از طول شعله در چرخش بر عکس است.

در شکل (۴) توزیع غلظت سوخت، اکسیژن و دی اکسید کربن در محور محفظه احتراق برای دو حالت چرخش همجهت و چرخش بر عکس نشان داده شده است.



شکل ۶- توزیع غلظت سوخت، اکسیژن و دی اکسید کربن با وجود چرخش برعکس (شکل بالایی) و چرخش همجهت (شکل پایینی)

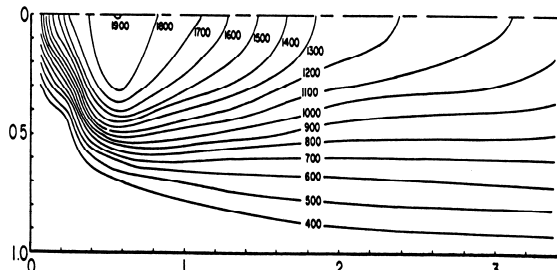
همچنان که در شکل (۴) دیده می شود زمانی که سوخت و هوای ورودی در جهت برعکس چرخش داشته باشند اختلاط بهتر از چرخش همجهت اتفاق می افتد و لذا سوخت زودتر تمام می شود و محفظه کوتاه تری مورد نیاز است.

در شکل (۵) مؤلفه سرعت مماسی در داخل محفظه احتراق برای دو حالت چرخش همجهت و چرخش برعکس نشان داده شده است. همان طور که در این شکل دیده می شود، چرخش برعکس جریان تا حدود ۰/۶ برابر قطر محفوظه در داخل محفظه دیده می شود و لذا اختلاط بهتر اتفاق می افتد در حالی که برای چرخش همجهت به سرعت سوخت و هوای در حال چرخش با هم به تعادل می رسند و با هم چرخش می کنند، لذا اختلاط دیرتر رخ می دهد و همانطور که قبل ذکر شد طول شعله بیشتر می شود و کوره بزرگتری مورد نیاز است. لازم به تأکید است که جریان

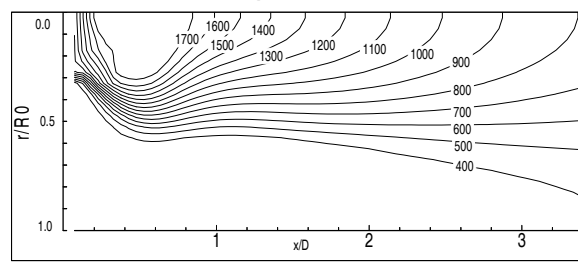
پدیده می‌توان در مبدل‌های حرارتی برای افزایش انتقال حرارت و صرفه‌جویی در مصرف سوخت استفاده کرد. لازم به ذکر است که در ادامه کار می‌توان با تغییر سرعت عبور و سرعت چرخش سوخت و هوا، محفظه‌هایی با کارایی مناسب و راندمان حرارتی بالا طراحی نمود.

فهرست علائم	
<i>A, B</i>	ضرایب ثابت
<i>H</i>	انتالپی
<i>K</i>	انرژی جنبشی اغتشاش
<i>P</i>	فشار
<i>Pr</i>	عدد پراندل
<i>r</i>	مختص شعاعی
<i>s</i>	جمله چشمی - نسبت هوا به سوخت
<i>u</i>	مولفه سرعت محوری
<i>v</i>	مولفه سرعت شعاعی
<i>w</i>	مولفه سرعت مماسی
<i>x</i>	مختص محوری
<i>Y</i>	غلظت
<i>ρ</i>	چگالی
<i>φ</i>	خاصیت باقی
<i>Γ</i>	ضریب در معادله (۱)
<i>ε</i>	اتلاف انرژی جنبشی اغتشاش
<i>μ</i>	لرجه سیال

توزیع دما را مشابه توزیع دمای حاصل از آزمایش پیش‌بینی کرده است.



شکل ۶- توزیع دما در داخل محفظه احتراق نتیجه آزمایشگاهی (۸) ابعاد و شرایط محفظه در داخل متن آورده شده است



شکل ۷- توزیع دمای بدست آمده در داخل محفظه احتراق از شبیه‌سازی کار حاضر

دلیل اختلاف ناچیزی که در شکل (۶) و (۷) وجود دارد، این است که اولاً در اندازه‌گیری خطأ وجود دارد، تعداد نقاط اندازه‌گیری محدود است و منحنی‌ها از روی چند نقطه رسم می‌شوند، ثانیاً اطلاعات ورودی در برنامه رایانه‌ای برای م atan جای گذاری شد، در حالی که سوخت استفاده شده گاز طبیعی بوده است و زمانی که اطلاعات ورودی کمی تغییر می‌کند، توزیع دما نیز تغییر می‌کند. از بین خواص ورودی، توزیع دما وابستگی زیادی به ظرفیت گرمایی ویژه دارد. مقدار این خاصیت از مرجع [۹] جای گذاری شد.

#### ۱۰- نتیجه‌گیری

- همان‌طور که در نتایج ارائه شده، دیده می‌شود، چرخش بر عکس بر چرخش همجهت ترجیح داده می‌شود زیرا باعث اختلاط بیشتر، کاهش طول شعله و کاهش طول محفظه احتراق مورد نیاز می‌شود. همچنین چرخش باعث پهن شدن شعله و رفتن حرارت به سمت دیواره‌ها می‌گردد. از این
- [1] Jones, W. P. and Priddin, C. H., Predictions of the Flow Field and Local Gas Composition in Gas Turbine Combustion, in 17th Sym. On Combustion, 1978, 398-409.
  - [2] صابونچی، ا، و خردمند، س، شبیه سازی عددی سه بعدی محفظه احتراق توربین گاز، استقلال، سال 22 (شماره 2)، .1382
  - [3] Dinler, N. and Yucel, N., Numerical Simulation of Flow and Combustion in an Axisymmetric Internal Combustion Engine, World Academy of Science,

#### مراجع

International Journal of Mechanical, Aerospace,  
Industrial, Mechatronic and Manufacturing  
Engineering, 1 (12), 2007, 692-697.

- [4] Bai, X. S. and Fuch, L., Sensitivity study of turbulent reacting flow modeling in gas turbine combustors, AIAA J, 33 (10), 1995, 1857-1864.

[5] پسندیدفرد، ا، شبیه سازی جریان همراه با احتراق در لوله تشعیعی دوراهه یک طرف بسته، دانشگاه صنعتی اصفهان، دکتری، 1378

- [6] Gosman, A. D. and Lockwood, F. C., Incorporation of a flux model for radiation into a finite-difference procedure for furnace calculation, in 14th Symposium (Int.) on combustion, 1973, 661-671.

[7] پاتانکار، س، محاسبات عددی کامپیوتری انتقال حرارت و حرکت سیالات، موسسه چاپ و انتشارات دانشگاه فردوسی مشهد، 1372

- [8] Owen, M. J., Gouldin, F. C., and McLean, W., Temperature and species concentration measurements in a swirl-stabilized combustor, in 17th Symposium (Int.) on combustion, USA, 1978, 363-374.

- [9] Turns, S. R., An introduction to combustion concepts and applications. Newyork: McGraw Hill, 1996.